## 草津白根山における地磁気全磁力変化\*

## Variation of Geomagnetic Total Intensity at Kusatsu-Shirane Volcano

気象庁地磁気観測所 Kakioka Magnetic Observatory, JMA

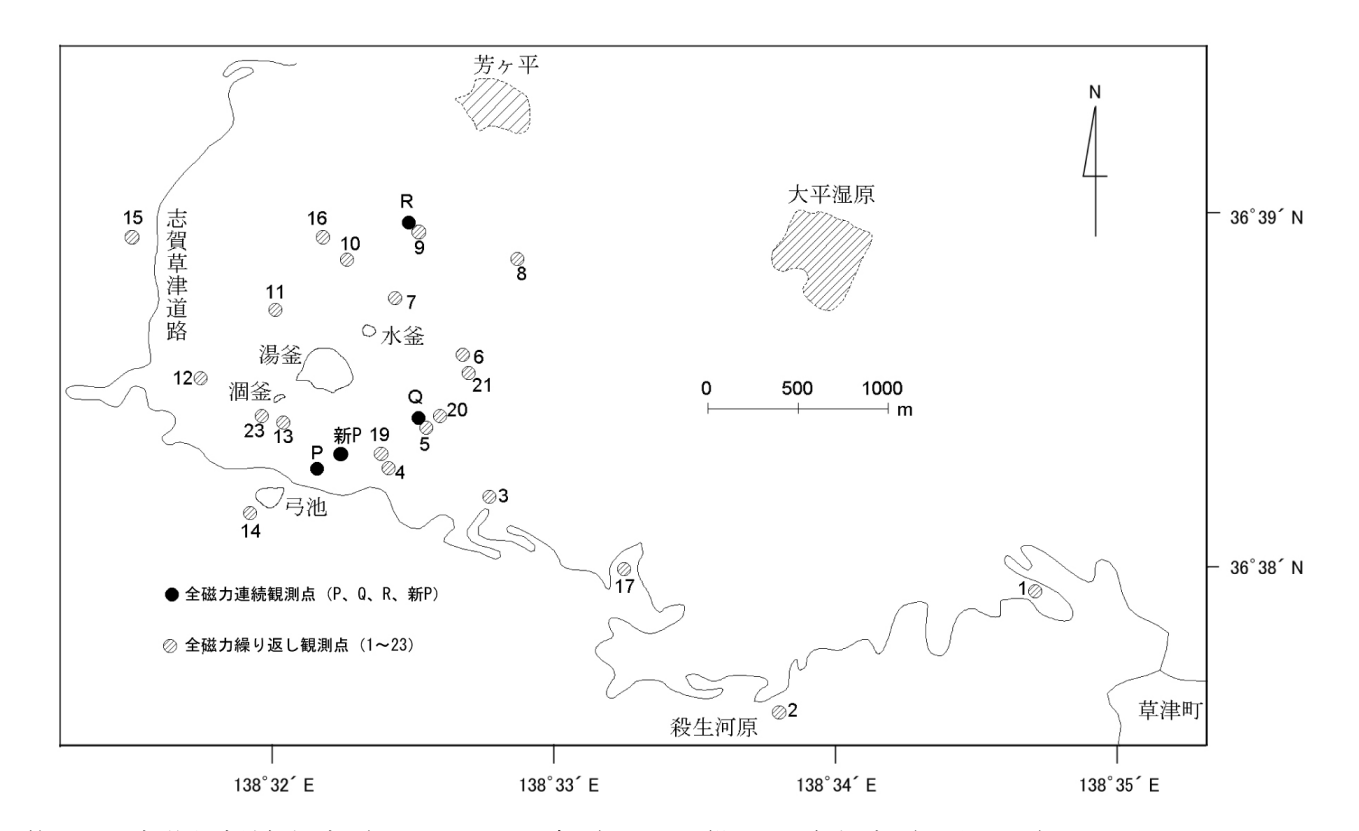
草津白根山における2012年12月までの地磁気全磁力変化について報告する。

第1図に草津白根山における全磁力連続観測点 P、Q、R および新 P 点と全磁力繰り返し観測点 (観測点番号1から23)の配置図を示す。P 点については観測を2012年5月に終了し、人工ノイズの影響の軽減のため北東へ約150 m離れた地点に移設し、観測点名を新 P 点とした。Q 点および R 点についても、2012年10月に磁力計をプロトン磁力計からオーバーハウザー磁力計に更新する工事を実施し、10月末より観測を再開した。

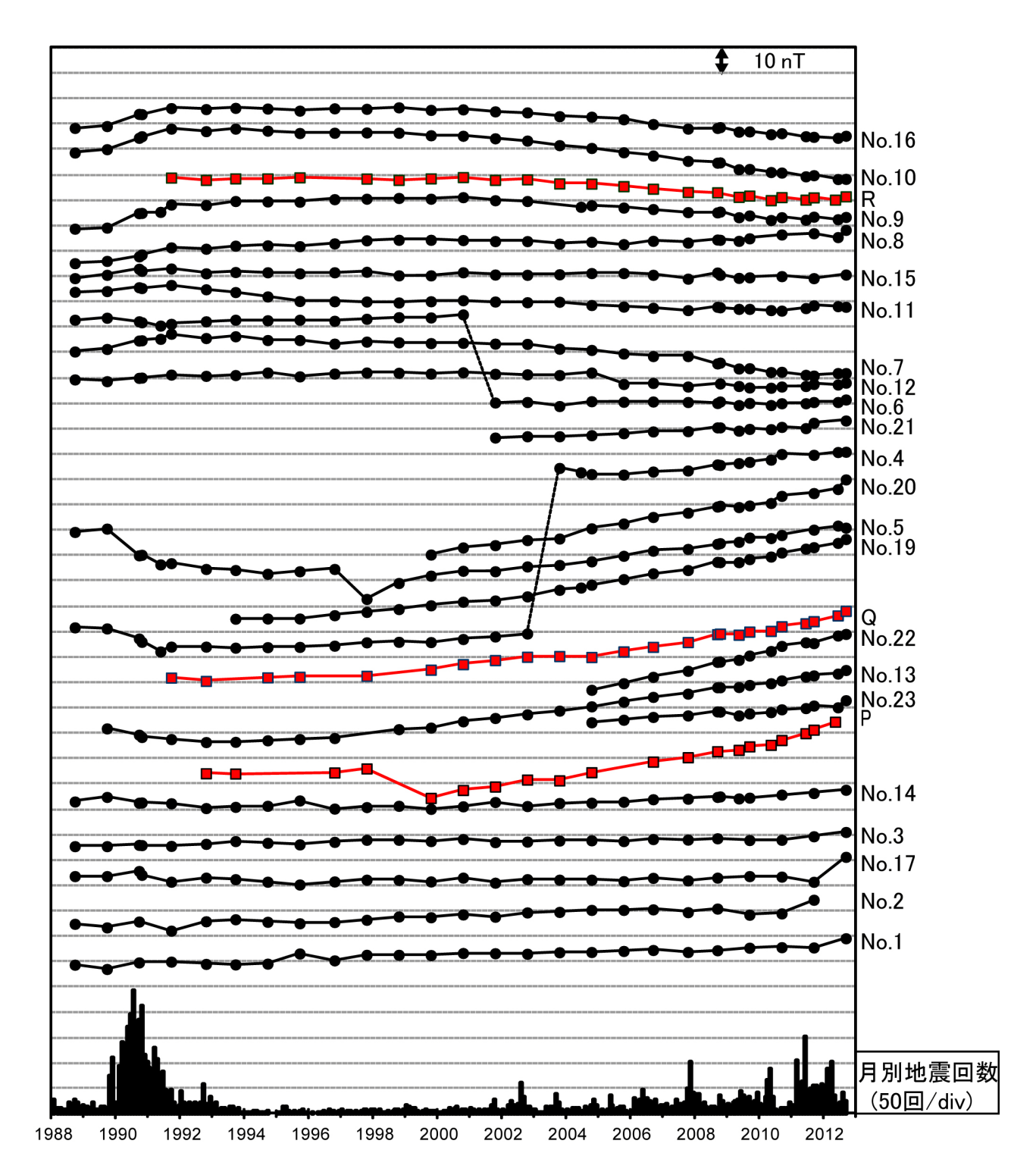
第2図および第4図に八ヶ岳地球電磁気観測所(東京大学地震研究所: YAT、草津白根山から南方約60km の位置)で観測された全磁力値を基準とした全磁力繰り返し観測点および連続観測点の全磁力変化をそれぞれ示す。第4図で2012年10月から11月にかけてQおよびR点でそれぞれ+2nT、-13nT の急変化が見られるが、磁力計更新前後で感部の高さを変更したためである。2011年9月から2012年12月にかけて各全磁力観測点で観測された全磁力値の変化として以下の特徴があげられる:

- (1) 湯釜の南側に位置する観測点では増加している。
- (2) 湯釜の北側に位置する観測点ではほとんど変化が見られなかった。

2000 年頃から湯釜の北側に位置する観測点では全磁力の減少傾向が継続していたが、2009 年頃からこの傾向が見られなくなった。この原因は湯釜近傍の地下の熱的活動が変化したことによるものではなく、2009 年以降、参照点である YAT に対し、草津白根山の全磁力永年変化量が大きくなったためであると考えられる。実際、火山活動による磁場変化の影響がないと考えられる、湯釜から約4km離れた観測点1で得られる観測値は YAT の全磁力値を参照した場合、2009 年頃から緩やかに増加している(第2図)。観測点1のデータを用いて草津白根-八ヶ岳の2点間の永年変化の差を補正した場合、2011年9月から2012年9月にかけては湯釜の北側では全磁力値が減少し、南側では増加もしくは変化が見られない(第3図)。よって2011年から2012年にかけても湯釜の地下で冷却による岩石の帯磁が継続したと推定される。1998年から2004年、2004年から2008年および2008年から2012年の3つの期間に推定される帯磁を表す等価磁気双極子の位置を第5図に、得られた双極子のパラメータを第1表にそれぞれ示す。

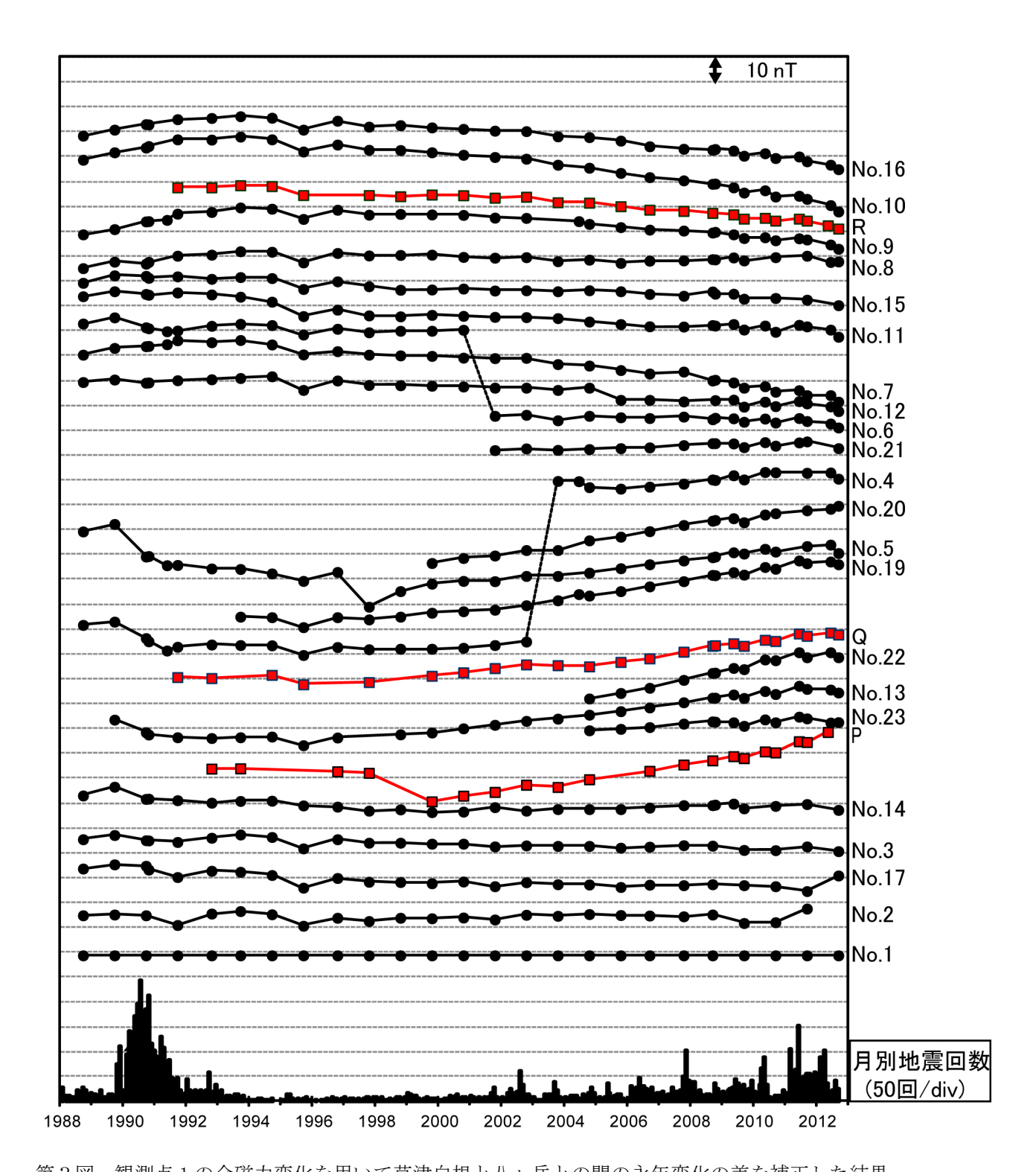


第1図 全磁力連続観測点 (P、Q、R および新 P) および繰り返し観測点 (番号 1-23) の配置図 Fig.1 Location map of continuous (P, Q, R and Shin-P) and repeated (1-23) observation stations for geomagnetic total intensity.

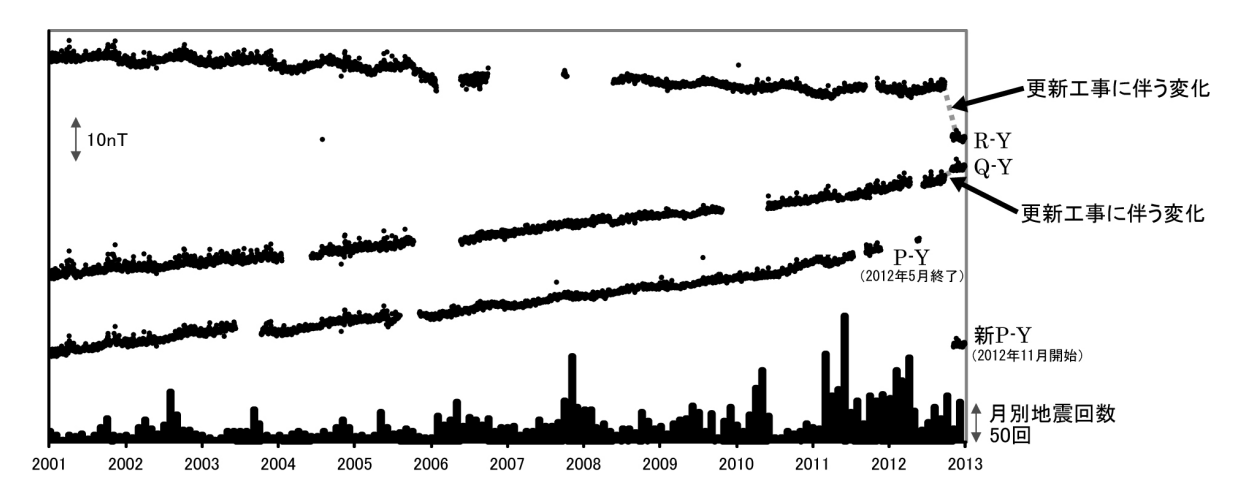


第2図 全磁力繰り返し観測による全磁力値の変化(1988年9月~2012年9月) 八ヶ岳地球電磁気観測所(東京大学地震研究所)で観測された全磁力値を基準としており、草津白根 山と八ヶ岳の地域的短周期変動の差は草津連続観測点を介して除去している。最下段に草津白根山 で観測された月別地震回数を示す。

Fig.2 Temporal variation of the geomagnetic total intensity at each observation site from September 1988 to September 2012, with reference to the YAT. The bar chart at the bottom of the panel denotes the monthly number of the volcanic earthquakes at the Kusatsu-Shirane volcano observed by JMA.

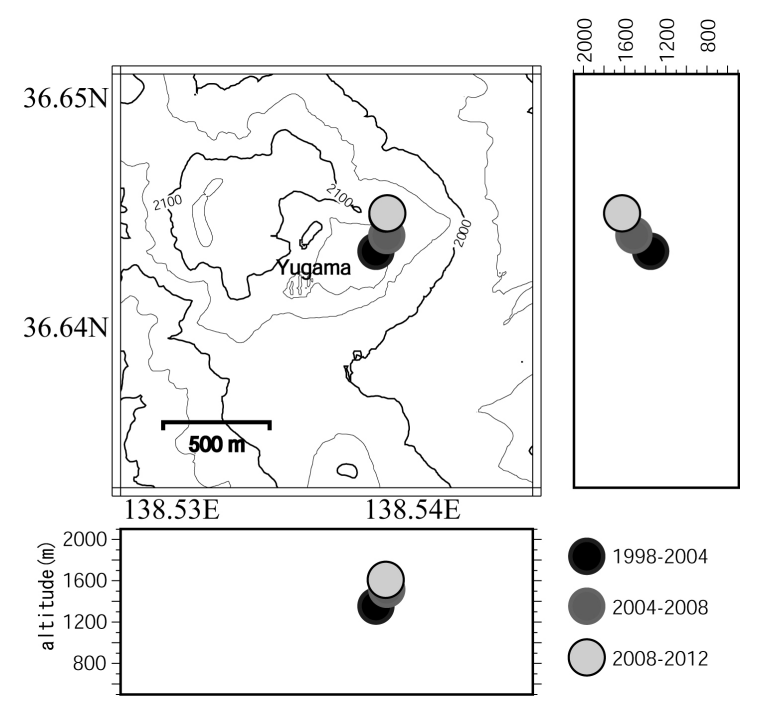


第3図 観測点1の全磁力変化を用いて草津白根と八ヶ岳との間の永年変化の差を補正した結果 Fig.3 Temporal variation of the geomagnetic total intensity after removal of secular variation difference between Kusatsu-Shirane volcano and YAT.



第4図 全磁力連続観測による全磁力値の変化及び月別地震回数 (2001 年1月~2012 年12月) 連続観測点 P、Q、R および新 P における八ヶ岳地球電磁気観測所(東京大学地震研究所)との全磁力 の夜間日平均値差。最下段に草津白根山で観測された月別地震回数を示す。

Fig.4 Temporal variation of the geomagnetic total intensity at the continuous observation stations P, Q, R and Shin-P from January 2001 to December 2012, with reference to YAT. The bar chart at the bottom of the panel denotes the monthly number of the volcanic earthquakes at Kusatsu-Shirane volcano observed by JMA.



- 第5図 3つの期間 (1998-2004、2004-2008および2008-2012) で推定される最適な帯磁の磁気双極子 の位置
  - この地図の作成に当たっては、国土地理院長の承認を得て、同院発行の『数値地図10 mメッシュ (火山標高)』を使用した(承認番号 平23情使、第467号)
- Fig.5 Locations of optimum magnetic dipoles for re-magnetization estimated for periods from 1998 to 2004, from 2004 to 2008 and from 2008 to 2012.

第1表 3つの期間 (1998-2004、2004-2008 および 2008-2012) で推定される最適な帯磁の磁気双極子の位置および双極子能率

Table.1 Estimated locations and moments of optimum magnetic dipoles for re-magnetization for periods from 1998 to 2004, from 2004 to 2008 and from 2008 to 2012.

期間	緯度(°)	経度(°)	高度(m)	双極子能率(10 <sup>7</sup> A m <sup>2</sup> )
1998-2004	36.6433	138.5370	1350	4.0
2004-2008	36.6440	138.5376	1500	2.5
2008-2012	36.6449	138.5375	1600	2.0